

# 1. КРАТКАЯ ТЕОРИЯ МЕТОДА

## 1.1. Предмет и задачи гравиметрии

Гравиметрия – раздел геофизики – наука об измерении и изучении распределения силы тяжести и ее составляющих на земной поверхности [12, 33, 35].

В предмет «Гравиметрия» входят вопросы использования результатов измерения силы тяжести для определения фигуры Земли и ее внутреннего строения, а также для изучения геологического строения ее верхних слоев: земной коры и мантии [4, 7, 8, 11, 12, 25, 27, 31, 38].

Задачей гравиметрии является определение гравитационного поля Земли и других небесных тел как функции местоположения и времени по измерениям силы тяжести и гравитационных градиентов на поверхности тела или вблизи него.

Начало экспериментальному изучению силы взаимодействия между Землей и физическими телами было положено итальянским ученым Галилео Галилеем (1564–1642), который в 1590 г. определил, на основе закона равноускоренного движения свободно падающего тела, численное значение силы притяжения, приблизительно равное  $10 \text{ м/с}^2$ .

Теоретическое обоснование явления притяжения между телами сделал английский физик и математик Исаак Ньютон (1642–1717), который вывел закон всемирного тяготения:

$$F = f \cdot \frac{m_1 \times m_2}{r^2}, \text{Н.}(1.1)$$

где  $m_1$  и  $m_2$  – массы притягиваемых тел, кг;

$r$  – расстояние между телами, м;

$f$  – гравитационная постоянная, или коэффициент пропорциональности между левой и правой частями формулы,  $\text{м}^3/(\text{кг} \cdot \text{с}^2)$ .

**Закон всемирного тяготения Ньютона является теоретической основой гравиметрии.** Численное значение  $f$  первым определил в 1789 г. английский физик Г. Кавендиш (1731–1810) с помощью усовершенствованных им крутильных весов конструкции Дж. Мичела (1724–1793).

Значение  $f$  получилось равным  $(6,673 \pm 0,003) \cdot 10^{-11} \text{ м}^3/(\text{кг} \cdot \text{с}^2)$ . В настоящее время значение  $f$  равно  $(6,67259 \pm 0,000085) \cdot 10^{-11} \text{ м}^3/(\text{кг} \cdot \text{с}^2)$ .

Значение гравитационной постоянной не зависит ни от физических или химических свойств обеих масс, ни от величины и направления скорости их движения, ни от свойств среды, разделяющей эти тела. Она зависит только от выбранной системы измерения единиц массы, длины и времени.

Сила тяжести – сила, с которой все тела притягиваются Землей. Для шарообразной Земли с массой  $M$  и радиусом  $\bar{R}$  однородной по плотности сила притяжения определяется по формуле:

$$\bar{F} = \frac{fM}{\bar{R}^2}. \quad (1.2)$$

Вектор силы притяжения  $\bar{F}$  направлен к центру Земли.

На точечную массу находящуюся на поверхности реальной Земли, вращающейся вокруг своей оси со скоростью  $\omega$  (рис. 1.1), кроме силы ньютоновского тяготения действует центробежная сила  $\bar{C}$  и сила притяжения небесных тел  $\bar{F}_n$ . Центробежная сила вычисляется по формуле:

$$C = \omega^2 \rho, \quad (1.3)$$

где  $\rho$  – расстояние точки  $N$  от оси вращения Земли;

$\omega$  – угловая скорость вращения Земли;

Равнодействующей этих сил является сила тяжести  $\bar{G}$ . В каждой точке земной поверхности с единичной массой ( $m = 1$ ) существует единственный вектор силы тяжести. Совокупность векторов  $\bar{G}$  образует поле силы тяжести – гравитационное поле. Или, другими словами, гравитационным полем называется пространство, в котором проявляются силы тяготения. Направление отвесной линии в пространстве совпадает с вектором силы тяжести.

Размерность силы тяжести  $\dim G = L \cdot M \cdot T^{-2}$ , где  $L$  – длина (м),  $M$  – масса (кг),  $T$  – время (с).

Единицей измерения силы тяжести в СИ является 1 Ньютон =  $1 \text{ кг} \cdot \text{м/с}^2$ .

Сила притяжения, действующая на единичную массу, есть напряженность поля силы тяжести, численно равная ускорению  $g$ , сообщаемому этой массе.

Размерность ускорения силы тяжести в СИ:

$$\dim g = L \cdot T^{-2},$$

где  $L$  – длина (м);  $T$  – время (с).

Единица измерения ускорения силы тяжести в СИ –  $\text{м/с}^2$ .

Это очень большая величина. Для Земли ее среднее значение составляет  $\bar{g} = 9,81 \text{ м/с}^2$ .

В гравиметрии за единицу ускорения силы тяжести принят 1 Гал – в честь Г. Галилея:

$$1 \text{ Гал} = 1 \cdot 10^{-2} \text{ м/с}^2 \text{ – гал};$$

$$1 \text{ мГал} = 1 \cdot 10^{-5} \text{ м/с}^2 \text{ – миллигаль};$$

$$1 \text{ мкГал} = 1 \cdot 10^{-8} \text{ м/с}^2 \text{ – микрогал}.$$

Для определения  $\bar{g}$  в любой точке пространства необходимо знать три ее составляющие по осям прямоугольных координат:  $g_x, g_y, g_z$ , и угол между направлением  $\bar{g}$  и осями координат, т. е. углы  $\angle g, X$ ;  $\angle g, Y$ ;  $\angle g, Z$ .

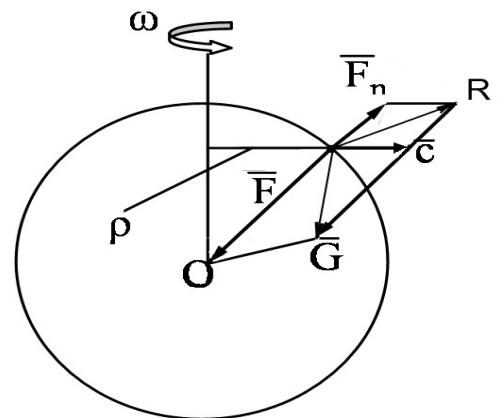


Рис. 1.1. Силы, действующие на точку физической поверхности Земли

В 1773 г. Ж. Лагранж (1736–1813) предложил использовать скалярную функцию  $W(x,y,z)$ , частные производные которой по осям координат равны проекциям  $\bar{g}$  на эти оси:

$$\frac{\partial W}{\partial X} = g_x; \quad \frac{\partial W}{\partial Y} = g_y; \quad \frac{\partial W}{\partial Z} = g_z.$$

К. Гаусс (1777–1855), крупнейший немецкий математик, назвал эту функцию потенциалом:

$$W = f \int \frac{dm}{r} + \frac{w^2}{2} (X^2 + Y^2) \quad (1.4)$$

Первое слагаемое этого выражения – потенциал тяготения  $V$ , а второе – потенциал центробежной силы  $Q$ :

$$W = V + Q.$$

Физический смысл потенциала – это работа в поле тяготения по перемещению единичной массы из бесконечности в данную точку:

$$W = g_s \cdot S \cdot \cos\left(\hat{\bar{g}}, \hat{S}\right), \quad \text{m}^2/\text{c}^2. \quad (1.5)$$

При перемещении массы в направлении, перпендикулярном вектору силы тяжести имеем:  $dW = g_s \cdot dS \cdot \cos 90^\circ$ ,  $dW = 0$ , т. е. в каждой точке пространства будем иметь поверхность одинакового потенциала  $W = \text{const}$ . В 1873 г. уровенную поверхность, близкую к поверхности невозмущенного океана, Иоганн Бенедикт Листинг (1808–1882) назвал геоидом.

Если перемещение массы происходит в направлении, параллельном вектору силы тяжести, то

$$dW = g_s \cdot dS \cdot \cos 0^\circ, \quad dW = g_s dS,$$

откуда

$$dS = dh = \frac{dW}{g_s}.$$

В данном случае  $dS$  – расстояние между уровнями поверхности. Оно обратно пропорционально величине  $g_s$ : чем больше  $g_s$ , тем меньше расстояние между уровнями поверхности. Для эллипсоида  $g_s = \gamma$ ,  $dS = dn$ ,  $\gamma = \frac{\partial W}{\partial n}$ , т. е. сила тяжести (на эллипсоиде) – это первая производная потенциала силы тяжести по нормали.

## 1.2. Распределение силы тяжести на поверхности эллипсоида вращения

Формулу для вычисления силы тяжести на поверхности эллипсоида получил в 1743 г. французский математик Клеро Алекси Клод (1713–1765). При выводе формулы он представил Землю состоящей из ряда эллипсоидальных слоев постоянной плотности и применил при этом законы гидростатики:

$$g = g_e (1 + \beta \cdot \sin^2 B), \quad (1.6)$$

где  $g_e$  – значение силы тяжести на экваторе;

$B$  – геодезическая широта точки на поверхности эллипсоида; при  $B = 90^\circ$  получим значение силы тяжести на полюсе –  $g_p$ ;

$\beta$  – коэффициент, определяющий избыток силы тяжести относительно экватора;

$$\beta = \frac{g_p - g_e}{g_e} = \frac{5}{2}q - \alpha_e,$$

где  $\alpha_e$  – сжатие эллипсоида по гравиметрическим данным:

$$\alpha_e = \frac{5}{2}q - \beta; \quad (1.7)$$

$$q = \frac{\omega^2 \cdot a^3}{f \cdot M_3} = \frac{\omega^2 \cdot a}{g_e} = \frac{C_e}{g_e};$$

$$g_e = \frac{f \cdot M_3}{a^2} (1 + 3n - q);$$

$$n = \frac{K}{2a^2}, K = \left( C - \frac{A+B}{2} \right) \cdot M_3;$$

$$A = f(y^2 + z^2) \cdot dm, B = f(x^2 + z^2) \cdot dm, C = f(x^2 + y^2) \cdot dm;$$

$$C_e = \omega^2 a \cos B,$$

где  $a$  – большая полуось эллипсоида;

$\omega$  – угловая скорость вращения Земли;

$M_3$  – масса Земли;

$A, B$  и  $C$  – главные моменты инерции Земли;

$C_e$  – центробежная сила на экваторе.

Формула Клеро (1.6) справедлива до малых первого порядка. Более точную формулу распределения силы тяжести на поверхности эллипсоида, исходя из теории Стокса, вывели в 1929 г. итальянские геодезисты У. Сомильяна и П. Пицетти [14]:

$$g = \frac{a \cdot g_e \cdot \cos^2 B + b \cdot g_p \cdot \sin^2 B}{\sqrt{a^2 \cdot \cos^2 B + b^2 \cdot \sin^2 B}}. \quad (1.9)$$

Разложив знаменатель равенства (1.9) в степенной ряд и вводя обозначения для  $\beta$  и  $\alpha_e$  из группы формул под номером (1.8), получим первую формулу Клеро с членами второго порядка малости:

$$g = g_e (1 + \beta \cdot \sin^2 B - \beta_1 \cdot \sin^2 2B), \quad (1.10)$$

$$\beta = \frac{5}{2}q - \alpha - \frac{17}{14} \cdot q \cdot \alpha,$$

где

$$\alpha + \beta = \frac{5}{2}q - \frac{17}{14}\alpha \cdot q, \quad (1.11)$$

или

$$\beta_1 = \frac{5}{8}q \cdot \alpha - \frac{1}{8} \cdot \alpha^2. \quad (1.12)$$

Формулы (1.10) и (1.11) составляют теорему Клеро с членами второго порядка малости. Коэффициент второго порядка малости  $\beta_1$  характеризует сфероидальность Земли.

Численные значения коэффициентов  $g_e$ ,  $\beta$  и  $\beta_1$  определил в 1909 г. немецкий геодезист Гельмерт Фридрих Роберт (1843–1917). В период с 1901 по 1909 г. он обработал по способу наименьших квадратов 1 603 значения силы тяжести и получил формулу для вычисления значений силы тяжести  $\gamma_0$  на поверхности эллипсоида:

$$\gamma_0^G = 978\,030 (1 + 0,005302 \cdot \sin^2 B - 0,0000071 \cdot \sin^2 2B). \quad (1.13)$$

Для нормальной Земли  $\Delta\gamma_0 = \gamma_P - \gamma_e = 5,2$  Гал, что составляет 0,53 % от  $\bar{\gamma}_0 = 981$  Гал.

При  $a = 6,387 \cdot 10^6$  м,  $\omega = 7,292 \cdot 10^{-5}$  рад/с =  $15,04''/с$ ,

$\Delta\gamma_0 - C_e = 5,2 - 3,4 = 1,8$  Гал или 0,18 % от  $\bar{\gamma}_0$ .

Формула Гельмерта (1.13) принята в России в качестве основной при обработке гравиметрических измерений, так как сжатие эллипсоида, вычисленное по гравиметрическим данным, близко к таковому по геодезическим данным:

$$\gamma_0^G = \frac{5}{2} \cdot \frac{C_e}{g_e} - \frac{g_P - g_e}{g_e} = \frac{1}{296,4}.$$

В 1930 г. в качестве международной была принята формула Кассиниса:

$$\gamma_0^K = 978\,049 (1 + 0,0052884 \cdot \sin^2 B - 0,0000059 \cdot \sin^2 2B), \quad (1.14)$$

рассчитанная для эллипсоида Хейфорда. Она широко применяется за рубежом.

Для перехода от  $\gamma_0^K$  к  $\gamma_0^G$  существует зависимость:

$$\gamma_0^G = \gamma_0^K - (19,0 - 13,2 \cdot \sin^2 2B). \quad (1.15)$$

Следует отметить, что в формулах (1.13) и (1.14) коэффициент  $\gamma_0$  вычислен в Потсдамской гравиметрической системе, в которой обнаружена ошибка в определении силы тяжести на исходном пункте Потсдам в +13,87 мГал. Поэтому в рассчитанные по этим формулам значения вводят поправку, равную -14 мГал.

В 1971 г. на XV Генеральной ассамблее международного геодезического и геофизического союза была принята новая формула для вычисления:

$$\gamma_0 = 978\,031,85 (1 + 53,024 \cdot 10^{-4} \cdot \sin^2 B - 59 \cdot 10^{-7} \cdot \sin^2 2B), \quad (1.16)$$

соответствующая референцной системе 1967 г. Система задана независимыми величинами (фундаментальными геодезическими постоянными), полученными из наблюдений космических летательных аппаратов:

$f \cdot M = 398\,603 \text{ км}^3 \text{с}^{-2}$  – геоцентрическая гравитационная постоянная;

$a = 6\,378\,160$  м – большая полуось эллипсоида;

$J_2 = 10\ 827 \cdot 10^{-7}$  – зональный гармонический коэффициент;

$M = 5,976 \cdot 10^{24}$  кг – масса Земли;

$\omega = 7,2921151467 \cdot 10^{-5}$  рад/с – угловая скорость вращения Земли;

Зная  $J_2$ , можно вычислить сжатие эллипсоида:

$$\alpha = \frac{3}{2} J_2 + \frac{W^2 \cdot a^2}{f \cdot M} = 1/298,249. \quad (1.17)$$

Для перехода от  $\gamma_{0(1930)}$  к  $\gamma_{0(1971)}$  существует зависимость:

$$\gamma_{0(1971)} - \gamma_{0(1930)} = -17,2 + 13,6 \cdot \sin^2 B \text{ мГал.} \quad (1.18)$$

Формула для вычисления  $\gamma_0$ , принятая в 1971 г., получена из наблюдений ИСЗ, движущихся вне атмосферы. Поэтому следует иметь ввиду, что масса Земли включает массу атмосферы равную  $5,1 \cdot 10^{18}$  кг.

С 1980 г. используется уточненная формула для вычисления  $\gamma_0$ :

$$\gamma_0 = 978032,68 \cdot (1 + 53,024 \cdot 10^{-4} \cdot \sin^2 B - 59 \cdot 10^{-7} \cdot \sin^2 2B). \quad (1.19)$$

На поверхности Земли величина силы тяжести зависит от следующих факторов:

- Широта места наблюдения;
- Высота точки над поверхностью эллипсоида;
- Плотностные и структурные неоднородности внутри земли;
- Приливное влияние луны и солнца;
- Притяжение атмосферы.

Внутри Земли сила тяжести меняется по закону, проиллюстрированному на рис. 1.2.

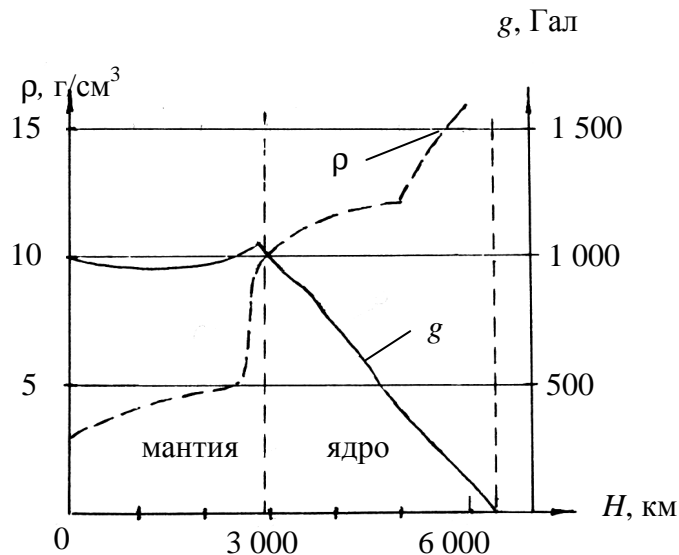


Рис. 1.2. Изменение плотности  $\rho$  и ускорение силы тяжести  $g$  внутри Земли

Если бы плотность вещества в Земле была постоянной, то сила тяжести уменьшалась бы равномерно с глубиной ( $H$ ). В действительности,  $\rho$  возрастает с глубиной, о чем свидетельствуют данные сейсмологии.

От поверхности Земли и до глубины около 2 500 км сила тяжести практически неизменна и составляет около 980 Гал. На границе мантия-ядро (2 900 км) сила тяжести возрастает до 1 000 Гал, а затем плавно уменьшается к центру Земли до 0 Гал.

### 1.3. Аномалии силы тяжести

Конечным продуктом гравиметрических работ является карта аномалий силы тяжести.

Аномалия силы тяжести – разность между величинами действительной (измеренной)  $g$  и нормальной силы тяжести  $\gamma_0$  в пункте наблюдений:

$$\Delta g = g - \gamma. \quad (1.20)$$

Величина  $\gamma$  вычисляется по формуле:

$$\gamma = \gamma_0 + \frac{\partial \gamma}{\partial H} \cdot H, \quad (1.21)$$

где  $\gamma_0$  – нормальное значение силы тяжести, вычисляемое по формуле Гельмерта, мГал;

$\frac{\partial \gamma}{\partial H} = -0,3086$  мГал/м – вертикальный градиент нормальной силы тяжести;

$H$  – геодезическая высота, м.

По результатам обработки гравиметрических и геодезических материалов строят гравиметрические карты аномалий силы тяжести.

В практике геофизических работ используют, в основном, два типа аномалий силы тяжести.

1. *Аномалия в свободном воздухе* ( $\Delta g_{C.B.}$ ):

$$\Delta g_{C.B.} = g - \gamma_0 + 0,3086 \cdot H, \quad (1.22)$$

где  $0,3086 \cdot H$  – поправка за геодезическую высоту точки наблюдения.

2. *Аномалия Буге* ( $\Delta g_B$ ):

$$\Delta g_B = g - (\gamma_0 - 0,3086 \cdot H + 0,0419 \cdot \bar{\rho} \cdot H - \delta g_p(\bar{\rho})), \quad (1.23)$$

где  $0,0419 \cdot \bar{\rho} \cdot H$  – притяжение плоскокараллельного (промежуточного) слоя толщиной  $H$  с плотностью  $\bar{\rho} = 2,67 \text{ г/см}^3$ , заключенного между уровнем точки наблюдения и поверхностью эллипсоида (поправка Буге).

$\delta g_p$  – поправка за влияние рельефа местности.

Для учета влияния окружающего рельефа используют различные способы, например: разбиение местности на участки, представляющие собой криволинейные призмы с наклонной верхней гранью, учет поправки по характерным формам рельефа и др. Наиболее широкое применение на практике нашли способы, разработанные П.И. Лукавченко, В.М. Березкиным, Е.А. Мудрецовой, а также методики, предложенные А.И. Каленицким, В.П. Смирновым и Г.Г. Ремпелем [11, 18, 19, 30].

### **Свойства аномалий силы тяжести и области их применения**

При решении вопроса о фигуре Земли необходимо строгое сохранение условия Стокса: «...уровенная поверхность потенциала силы тяжести целиком охватывает все массы» [12, 25, 35], т. е. общая масса Земли и форма уровенной поверхности не должны меняться или изменяться, по возможности, мало.

При вычислении аномалии силы тяжести  $\Delta g_{CB}$  вводится поправка за высоту точки наблюдения. Эта редукция «переносит» значение  $\gamma_0$  с эллипсоида в точку измерений без участия масс промежуточного слоя – массы Земли остаются не тронутыми.

Нормальное поле построено для эллипсоида, охватывающего все массы. Аномалии силы тяжести с редукцией в свободном воздухе  $\Delta g_{CB}$  являются отклонением реально наблюдающейся в данной точке силы тяжести от ее нормального значения. В этом смысле величина  $\Delta g_{CB}$  отражает истинное гравитационное поле [12], если высоты определены от поверхности эллипсоида, иначе – смешанное.

Редукция в свободном воздухе очень мало искажает геоид:

$$dS = \frac{dW}{\gamma} = - \frac{\pi \cdot f \cdot \bar{\rho} \cdot H^2}{\gamma}. \quad (1.24)$$

Для целого континента толщиной  $H = 1 \text{ км}$  и  $\bar{\rho} = 2,5 \text{ г/см}^3$ :

$$dS = - \frac{3,14 \cdot 6,67 \cdot 10^{-8} \cdot 2,5 \cdot 10^{10}}{980} \approx 6 \text{ см} (5,7 \text{ см}).$$

При вычислении аномалий силы тяжести с редукцией Буге  $\Delta g_B$  поправка за промежуточный слой исключает его влияние. Удаление масс между уровнем

отнесения величины  $\gamma_0$  и уровнем точки наблюдения нарушает условие Стокса – неизменность общей массы. Кроме того, происходит значительная деформация уровенной поверхности.

При введении поправки Буге

$$dS = \frac{dW}{\gamma} = -\frac{2\pi \cdot f \cdot \bar{\rho} \cdot H^2 \cdot a}{\gamma}. \quad (1.25)$$

При исключении влияния острова толщиной  $H = 1$  км и радиусом  $R = 100$  км с плотностью пород  $\bar{\rho} = 2,5$  г/см<sup>3</sup>

$$dS = \frac{2 \cdot 3,14 \cdot 6,67 \cdot 10^{-8} \cdot 2,5 \cdot 10^5 \cdot 10^7}{980} \approx 10 \text{ м.}$$

Такова величина искажения геоида в случае регуляризации методом введения поправки Буге (операция устранения масс, выступающих над уровенной поверхностью). Поэтому  $\Delta g_B$  не пригодны для изучения фигуры Земли. Но при этом, в аномальном поле рельефнее проявляются аномальные массы, что нужно для целей гравиразведки.

При редукции Буге необходимо вводить поправки за окружающий рельеф.

Аномалии силы тяжести в редукции Буге на большей части Земли составляют в среднем 42,4 мГал. Максимальное значение – +660 мГал (о. Гавайи), минимальное –380 мГал – желоб Пуэрто-Рико (Атлантический океан).

#### 1.4. Уклонение отвеса

В любой точке  $M$  земной поверхности (рис. 1.3) отвес устанавливается по линии, совпадающей с направлением действия силы тяжести  $Ng$ . Это направление перпендикулярно к уровенной поверхности  $W = C$ , проходящей через данную точку  $M$ . Рассмотрим общий земной эллипсоид (ОЗЭ), наилучшим образом представляющий фигуру Земли [12, 28, 35]. В общем случае поверхность  $W = C$  не параллельна поверхности ОЗЭ. Проведем нормаль  $nn$  к ОЗЭ через точку  $M$ . Угол  $NMn$  – абсолютное, или гравиметрическое ( $v_g$ ) – уклонение отвесной линии.

Обработка всех геодезических измерений производится на референц-эллипсоиде (РЭ) данного государства. Проведем нормаль  $n_1n_1$  к референц-

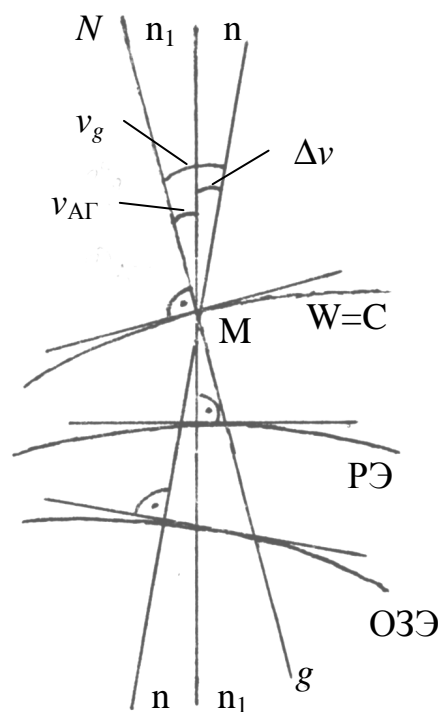


Рис. 1.3. Отсчетные поверхности и нормали к ним

эллипсоиду в точке М. Угол  $NMn_1$  между направлением отвесной линии и нормалью к поверхности РЭ называется относительным или астрономо-геодезическим уклонением отвесных линий ( $\nu_{AG}$ ):

$$\nu_{AG} = \nu_g - \Delta\nu,$$

где  $\Delta\nu$  – угол между нормалями к ОЗЭ и к РЭ

Астрономические координаты ( $\phi$  и  $\lambda$ ) контролируются направлением отвесной линии, а геодезические широты и долготы ( $B$  и  $L$ ) определяются положением нормали к референц-эллипсоиду. Следовательно, уклонения отвесных линий получаются как разность астрономических и геодезических координат.

Для практических целей нужно знать проекции  $\nu_g$  на плоскость меридиана ( $\xi$ ) и плоскость первого вертикала ( $\eta$ ). Эти составляющие необходимы для перехода от астрономических к геодезическим координатам и обратно (рис. 1.4). На рис. 1.4:

$P$  – полюс мира;

$g$  – вектор силы тяжести на поверхности Земли в точке М;

$n$  – нормаль к ОЗЭ;

$n_1$  – нормаль к референц-эллипсоиду;

$\bar{g}$  – вектор нормальной силы тяжести на поверхности ОЗЭ;

$Z_G$  – геодезический зенит;

$Z_A$  – астрономический зенит;

$Z_1$  – нормальный зенит;

$PZ_G$  – геодезический меридиан;

$PZ_A$  – астрономический меридиан;

$Z_AZ_2$  – первый вертикаль;

$PZ_G = 90^\circ - B$  – дополнение геодезической широты до  $90^\circ$ ;

$PZ_A = 90^\circ - \phi$  – дополнение астрономической широты до  $90^\circ$ ;

$PZ_1 = 90^\circ - B_n$  – дополнение нормальной широты до  $90^\circ$ ;

$B$ ,  $\phi$ ,  $B_n$  – широты: геодезическая, астрономическая и нормальная соответственно;

$\Delta\lambda = \lambda - L$  – разница астрономической и геодезической долготы;

$Z_1Z_A$ ,  $Z_GZ_A$  – гравиметрическое ( $\nu_g$ ) и астрономо-геодезическое ( $\nu_{AG}$ ) уклонение отвесной линии, соответственно;

$Z_1Z_2$  – проекция  $\nu_g$  на плоскость меридиана  $\xi_B$ ;

$Z_GZ_2$  – проекция  $\nu_{AG}$  на плоскость меридиана  $\xi_{AG}$ ,

$Z_AZ_2$  – проекции  $\nu_g$  и  $\nu_{AG}$  на плоскость первого вертикала –  $\eta_g$  и  $\eta_{AG}$ .

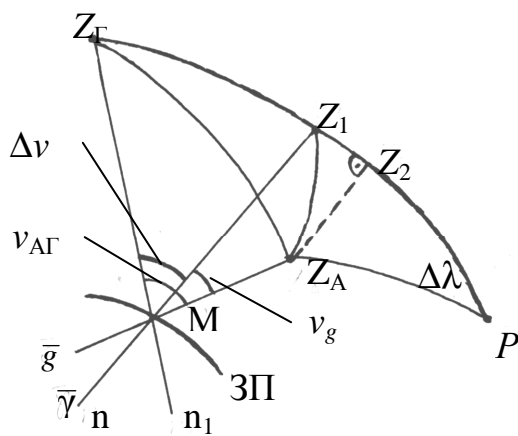


Рис. 1.4. Связь астрономических и геодезических координат

По рис. 1.4 видно, что связь между астрономо-геодезическими  $v_{AG}$  и гравиметрическими  $v_g$  уклонениями отвеса имеет вид:

$$\xi_{AG} = \xi_g + \Delta B,$$

где  $\Delta B = B_n - B$ ;

$$Z_2 P = 90^\circ - (B + \xi_{AG}).$$

Из прямоугольного сферического треугольника  $Z_2 Z_A P$  по правилу Непера – Модюи запишем:

$$\begin{cases} \cos \Delta \lambda = \cos(\lambda - L) = \operatorname{ctg}(90^\circ - \varphi) \cdot \operatorname{tg}[90^\circ - (B + \xi_{AG})] = \operatorname{tg} \varphi \cdot \operatorname{ctg}(B + \xi_{AG}); \\ \sin \eta = \sin(90^\circ - \varphi) \cdot \sin(\lambda - L) = \cos \varphi \cdot \sin(\lambda - L). \end{cases}$$

Разложим функции косинуса и синуса в ряд. Пренебрегая квадратичными членами, получим:

$$B = \varphi - \xi_{AG};$$

$$\xi = \varphi - B;$$

или

$$L = \lambda - \eta \cdot \operatorname{sec} \varphi;$$

$$\eta = (\lambda - L) \cdot \cos B.$$

(1.26)

Существует 3 способа определения уклонения отвесной линии.

Астрономо-геодезический.

Гравиметрический.

Астрономо-гравиметрический.

Гравиметрическое уклонение  $v_g$  получим из прямоугольного треугольника ONg, в котором угол NOg =  $v_g$  (рис. 1.5):

$$\operatorname{tg} v_g = \frac{g_s}{\gamma}. \quad (1.27)$$

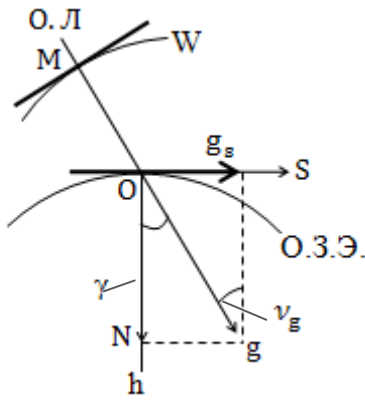


Рис. 1.5. Гравиметрическое уклонение отвеса

По малости  $v_g$  (около одной минуты), разложив функцию  $\operatorname{tg}$  в ряд и ограничившись первым членом разложения, получим:

$$v_g = \frac{g_s}{\gamma}, \quad (1.28)$$

где  $\gamma$  и  $g_s$  – составляющие силы тяжести по направлениям: нормали  $\gamma$  и касательной  $S$  к ОЗЭ. Первая составляющая близка к среднему значению нормальной силы тяжести  $\bar{\gamma}$  на поверхности ОЗЭ, а вторая обусловлена действием потенциала силы тяжести  $W$  и равна:

$$g_s = \frac{\partial W}{\partial S}. \quad (1.29)$$

Потенциал силы тяжести на земной поверхности есть сумма нормального  $U$  и возмущающего  $T$  потенциалов:

$$W = U + T. \quad (1.30)$$

С учетом (1.29) и (1.30) выражение (1.28) примет вид:

$$v_g = -\frac{1}{\gamma} \left( \frac{\partial U}{\partial S} + \frac{\partial T}{\partial S} \right). \quad (1.31)$$

Так как силовые линии нормального поля на поверхности геоида перпендикулярны к эллипсоиду, то:

$$\frac{\partial U}{\partial S} = 0; \\ (1.32)$$

$$v_g = -\frac{1}{\gamma} \cdot \frac{\partial T}{\partial S};$$

$$T = \gamma \cdot \xi,$$

Найдем частную производную  $\partial T / \partial S$  из формулы Брунса. Подставив ее в формулу (1.32), получим:

$$v_g = -\frac{1}{\gamma} \cdot \gamma \left( \frac{\partial \zeta}{\partial S} \right) = -\frac{\partial \zeta}{\partial S}. \quad (1.33)$$

Гравиметрическое уклонение отвесной линии есть частная производная превышения геоида над эллипсоидом по направлению наибольшего изменения потенциала силы тяжести на эллипсоиде или то же самое – наибольшего изменения высот.

Значение  $\zeta$  задается формулой Стокса:

$$\zeta = \frac{R}{4\pi\gamma_0} \int_0^{\pi} \int_0^{\pi} \Delta g_{\text{СВ}} \cdot S(\psi) \cdot \sin \psi \cdot d\psi \cdot dA, \quad (1.34)$$

где  $S(\psi)$  – функция Стокса;

$$S(\psi) = 1 + \operatorname{cosec} \frac{\psi}{2} - 6 \sin \frac{\psi}{2} - 5 \cos \psi - 3 \cos \psi \cdot \ln \left( \sin \frac{\psi}{2} + \sin^2 \frac{\psi}{2} \right), \quad (1.35)$$

где  $\psi$  – сферическое расстояние между определяемой  $M(\varphi_0, \lambda_0)$  и текущей  $N(\varphi, \lambda)$  точками (рис. 1.6);

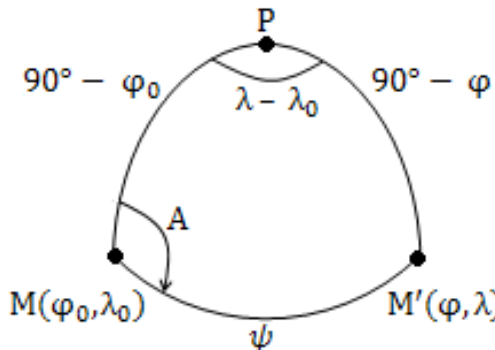


Рис. 1.6. Сферический треугольник

$A$  – азимут линии  $MN$ ;

$\Delta g_{\text{СВ}}$  – аномалия силы тяжести с редукцией в свободном воздухе.

Для получения составляющих уклонения отвеса в меридиане ( $\xi$ ) и в первом вертикале ( $\eta$ ) необходимо выражение (1.33) проинтегрировать по широте  $\varphi_0$  и долготе  $\lambda_0$ .

В первом случае  $\partial S = \bar{R} \cdot \partial \varphi_0$ , а во втором

$$\partial S = \bar{R} \cdot \cos \varphi_0 \cdot \partial \lambda_0,$$

где  $\varphi_0$  и  $\lambda_0$  – координаты точки, в которой определяются уклонение отвесной линии;

$\bar{R}$  – средний радиус Земли.

Тогда:

$$\xi = -\frac{1}{\bar{R}} \cdot \frac{\partial \zeta}{\partial \varphi_0}; \quad \eta = -\left( \frac{1}{\bar{R} \cdot \cos \varphi_0} \right) \cdot \frac{\partial \zeta}{\partial \lambda_0}. \quad (1.36)$$

Подставив выражение (1.35) в (1.36), получим:

$$\left. \begin{aligned} \xi &= -\frac{1}{4\pi\gamma} \int_0^{\pi/2} \int_0^{\pi} \Delta g_{\text{СВ}} \frac{\partial S(\psi)}{\partial \varphi_0} \sin \psi \cdot d\psi \cdot dA \\ \eta &= -\frac{1}{4\pi\gamma \cdot \cos \varphi_0} \int_0^{\pi/2} \int_0^{\pi} \Delta g_{\text{СВ}} \frac{\partial S(\psi)}{\partial \lambda_0} \sin \psi \cdot d\psi \cdot dA \end{aligned} \right\}. \quad (1.37)$$

Определив из решения сферического треугольника (рис. 1.6)  $\psi$ ,  $d\psi$ ,  $\sin \psi$ , продифференцировав выражение (1.37) по  $\varphi_0$  и  $\lambda_0$  и выполнив несложные математические преобразования, получим выражения для составляющих  $\xi$  и  $\eta$  в виде [12]:

$$\left\{ \begin{aligned} \xi \\ \eta \end{aligned} \right\} = -\frac{1}{4\pi\gamma} \int_0^{\pi/2} \int_0^{\pi} \Delta g_{\text{СВ}} \frac{\partial S(\psi)}{\partial \psi} \begin{Bmatrix} \cos A \\ \sin A \end{Bmatrix} \sin \psi \cdot d\psi \cdot dA. \quad (1.38)$$

Чтобы получить  $\xi$  и  $\eta$  в секундах дуги, умножим выражение (1.38) на  $\rho''$  и введем обозначение:

$$-\frac{\rho''}{2\gamma} \cdot \frac{\partial S(\psi)}{\partial \psi} \sin \psi = Q(\psi) - \text{функция Веннинг-Мейнеса.} \quad (1.39)$$

Функция Веннинг-Мейнеса непрерывна во всей области, кроме точки  $\psi = 0$ . Строгая формула для вычисления  $Q$  имеет вид:

$$\begin{aligned} Q(\psi) = & \frac{\rho''}{2\gamma} \cos^2 \frac{\psi}{2} \left[ \cos ec \frac{\psi}{2} + 12 \sin \frac{\psi}{2} - 32 \sin^2 \frac{\psi}{2} + 3 \left( 1 + \sin \frac{\psi}{2} \right) - \right. \\ & \left. - 12 \sin^2 \frac{\psi}{2} \ln \left( \sin \frac{\psi}{2} + \sin^2 \frac{\psi}{2} \right) \right]. \end{aligned} \quad (1.40)$$

Исследование функции  $Q(\psi)$  выполнил В.Ф. Еремеев [15]. Числовые значения функции  $Q(\psi)$  приведены в табл. 1.1, а ее ход показан на рис. 1.7.

Таблица 1.1. Значения функции Веннинг-Мейнеса

$\psi$	$0^\circ$	$1^\circ$	$10^\circ$	$20^\circ$	$30^\circ$	$72^\circ$	$80^\circ$	$180^\circ$
$Q(\psi)$	$\infty$	+12,370	+1,591	+1,02	+0,79	0	-0,15	0

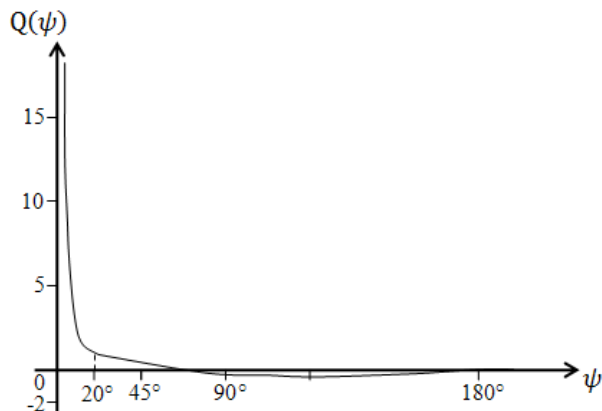


Рис. 1.7. График изменения хода функции Веннинг-Мейнеса

По табл. 1.1 и рис. 1.7 видно, что функция Венинг-Мейнеса быстро убывает в пределах от 0 до  $20^\circ$ , а от  $20^\circ$  до  $180^\circ$  – близка к нулю.

Это указывает на возможность разделить область интегрирования на две: от 0 до  $10^\circ$  и по всей остальной площади.

Если интегрирование вести в пределах от 0 до  $10^\circ$ , то функцию  $Q$  можно упростить, разложив ее по малости  $\psi$  в ряд. Ограничевшись первым порядком малости  $\psi$ , получим приближенное значение  $Q_1$  функции Венинг-Мейнеса:

$$Q_1 = \frac{\rho''}{2\gamma} \left( \frac{2}{\psi^\circ} + \frac{42}{12} \psi^\circ + 3 \right). \quad (1.41)$$

Заменим угловое расстояние  $\psi^\circ$  линейным  $r$  по дуге большого круга:

$$r = \bar{R}\psi = \bar{R}\psi^\circ \cdot \frac{2\pi}{360}.$$

Получим:

$$\psi^\circ = \frac{360r}{2\pi\bar{R}}. \quad (1.42)$$

Подставив (1.42) в (1.41), получим:

$$Q_1 = \frac{\rho''}{2\gamma} \left( \frac{4\pi\bar{R}}{360} \cdot \frac{1}{r} + \frac{49}{12} \cdot \frac{360}{2\pi\bar{R}} \cdot r + 3 \right).$$

Полагая, что  $\rho'' = 20\ 6265$ ,  $\gamma = 981\ 000$  мГал,  $\bar{R} = 6\ 371$  км, и обозначая постоянные коэффициенты через А, В и С, получаем:

$$Q_1 = \frac{A}{r} + B \cdot r + C, \quad (1.43)$$

где  $A = 1\ 339,6$ ;  $B = 66 \cdot 10^{-6}$ ,  $C = 0,315$ .

В выражении (1.43) первые слагаемые при малых значениях  $r$  являются определяющими. Поэтому принято выделять центральную зону от 0 до  $r_0$ , где величину  $Q_1$  можно найти по формуле:

$$Q_1 = \frac{1340}{r}.$$

С учетом вышеизложенного, величины составляющих уклона отвеса  $\xi''$  и  $\eta''$  и высоты квазигеоида вычисляются по формулам:

$$\left. \begin{aligned} \left\{ \begin{array}{l} \xi'' \\ \eta'' \end{array} \right\} &= -\frac{1340}{2\pi R} \int_0^{r_0} \int_0^{2\pi} \frac{\Delta g}{r} \left\{ \begin{array}{l} \cos A \\ \sin A \end{array} \right\} dr \cdot dA - \frac{1}{2\pi \bar{R}} \int_{r_0}^{r_1} \int_0^{2\pi} \Delta g Q_1 \left\{ \begin{array}{l} \cos A \\ \sin A \end{array} \right\} dr \cdot dA; \\ \zeta_{,m} &= \frac{1}{2\pi\gamma} \left[ \int_0^{r_0} \int_0^{2\pi} \Delta g \cdot dr \cdot dA + \int_0^{r_1} \int_0^{2\pi} \Delta g \cdot F(r) \cdot dr \cdot dA \right], \end{aligned} \right\} \quad (1.44)$$

$$\text{где } F(r) = A \ln r + \frac{B}{2} r^2 + c \cdot r.,$$

где  $\Delta g = \Delta g_{\text{СВ}}$  – см. обозначения на стр. 23.

По известным аномалиям силы тяжести в свободном воздухе по формулам (1.44) можно вычислить составляющие уклонения отвесной линии в меридиане  $\xi''$  и в первом вертикале ( $\eta''$ ). Влияние аномалий силы тяжести необходимо учитывать в области от  $0^\circ$  до  $20^\circ$  (от 0 до 2 000 км).

## 1.5. Гравиметрические данные в задачах инженерной геодезии

Монтаж оборудования в большинстве случаев ведут с относительной погрешностью  $10^{-4}$ – $10^{-5}$  (1мм на 100 м), а съемочные работы – с еще меньшей точностью. При этом гравитационное поле в пределах стройплощадки считается однородным.

При работах с относительными погрешностями порядка  $10^{-5}$ – $10^{-6}$  гипотеза однородности поля силы тяжести перестает себя оправдывать и поэтому приходится переходить от материализованной прямоугольной координатной системы к координатной системе, в которой учитывается положение силовых линий – кривая, касательная к которой в каждой точке совпадает с вектором силы тяжести (рис 1.8).

Силовые линии – плоские кривые, обращенные выпуклостью к экватору. Они имеют кривизну, не параллельны друг другу.

Вместе с силовыми линиями искривляются и поверхности, ортогональные им. Эти поверхности называют уровнями, или эквипотенциальными поверхностями равного потенциала:  $W = C$ . В таких условиях работать геодезисту становится трудно.

Но, если не принимать во внимание все сказанное, то точность  $10^{-6}$  останется недосягаемой. При неоднородном поле силы тяжести будет наблюдаться отклонение оси вращения теодолита от координатной линии  $Z$  (силовая линия). Поэтому при измерениях геодезических величин (линий, углов, превышений) необходимо учитывать уклонения отвесных линий.

### 1.5.1. Поправка в измеренное горизонтальное направление

Горизонтальное направление – линия пересечения вертикальной плоскости, проходящей через отвесную линию (вертикальную ось теодолита) и наблюдаемый пункт, с горизонтальной плоскостью (плоскостью лимба теодолита).



Рис. 1.8. Силовое поле геоида

Пусть  $M$  – пункт на поверхности Земли (рис. 1.9),  $S$  – сфера произвольного радиуса с центром в точке  $M$ ,  $n$  – нормаль к эллипсоиду. Она пересекает  $S$  в геодезическом зените – точке  $Z$ . Направление отвесной линии, контролируемое вектором силы тяжести  $\bar{g}$ , дает в пересечении со сферой астрономический зенит – точку  $Z_g$ ;  $v$  – уклонение отвеса;  $MQ$  – измеренное направление на пункт  $Q$ .

Требуется получить редуцированное (исправленное) направление  $Z_g Q$ . Проведем через  $Z_g$  линию ЛЛ, параллельную  $Z_g Q$ . Угол  $\delta_1$  между ЛЛ и направлением  $Z_g Q$  является поправкой в горизонтальное направление.

Опустим перпендикуляр из  $Z_g$  на направление  $Z_g Q$ . Тогда  $v$  можно разложить на составляющие  $v_A = Z_g Q$  в азимуте редуцированного направления и  $v_{A+90^\circ} = Z_g K$  – в перпендикулярном направлении.

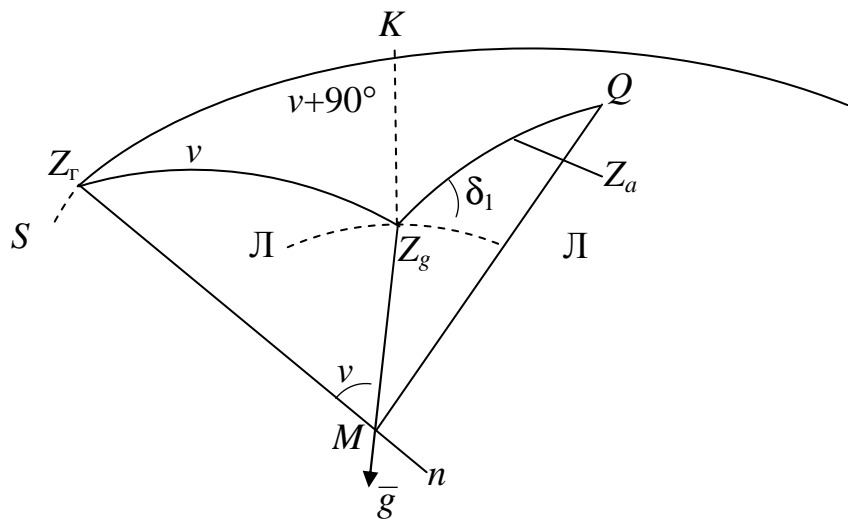


Рис. 1.9. Поправка в измеренное горизонтальное направление

Из прямоугольного треугольника  $Z_g nQ$ :

$$\cos(90^\circ - \delta_1) = \operatorname{tg} v_{A+90^\circ} \cdot \operatorname{ctg} Z_a, \quad (1.45)$$

где  $Z_a$  – астрономическое зенитное расстояние точки  $Q$ .

По малости  $v$ , которое обычно не превышает нескольких секунд, можно записать:

$$\delta_1 = v_{A+90^\circ} \cdot \operatorname{ctg} Z_a. \quad (1.46)$$

Применив формулу составляющей отвеса в произвольном азимуте  $A$

$$v = \xi^{\text{арг}} \cdot \cos A + \eta^{\text{арг}} \cdot \sin A, \quad (1.47)$$

найдём:

$$v_{A+90^\circ} = \eta^{\text{арг}} \cdot \cos A - \xi^{\text{арг}} \cdot \sin A. \quad (1.48)$$

Формулу (1.48) подставим в (1.46) и получим окончательное выражение поправки  $\delta_1$  за уклонение отвеса:

$$\delta = (-\xi^{\text{аг}} \cdot \sin A + \eta^{\text{аг}} \cdot \cos A) \cdot \text{ctg} Z_a. \quad (1.49)$$

Составляющие  $\nu$ ,  $\xi$  и  $\eta$  отклонения отвеса в азимуте  $A$  считаются положительными, если луч отвесной линии, направленный вверх, отклоняется от оси  $Z$  на северо-восток [4].

Особенностью специальных геодезических сетей являются значительные углы наклона, достигающие  $30\text{--}40^\circ$ . При таких углах коэффициент  $\text{ctg} Z_a$  равен  $0,58\text{--}0,84$ , поэтому уклонения отвесной линии нужно знать не грубее точности измерения горизонтальных углов:  $0,2''\text{--}0,4''$ .

### 1.5.2. Поправка в зенитное расстояние

Из прямоугольного сферического треугольника  $Z_g QK$  (см. рис 1.9) по аналогии Непера – Мадюи запишем:

$$\cos Z_a = \cos(\nu_{A+90^\circ}) \cdot \cos QK.$$

По малости  $\nu$  можно считать, что  $\cos(\nu_{A+90^\circ}) = 1$ , а дуга  $QK$  равна разности геодезического зенитного расстояния точки  $Q$ : ( $Z_\Gamma = QZ_\Gamma$ ) и уклонения отвеса  $\nu_A$  в азимуте измеряемого направления:  $QK = Z_\Gamma - \nu_A$ . Тогда:

$$Z_\Gamma = Z_a + \nu_A. \quad (1.50)$$

Поправка в зенитное расстояние одинакова для всех направлений, лежащих в одной вертикальной плоскости по одну сторону от зенита, и она вводится в том случае, если точность измерений  $Z$  сравнима с величиной  $\nu$ , т. е. при погрешности  $m_Z$  более  $\pm 1''$ .

### 1.5.3. Влияние уклонения отвеса на измеряемое расстояние

На рис. 1.10 проиллюстрирована методика учета влияния уклонения отвесной линии на измеряемое расстояние.

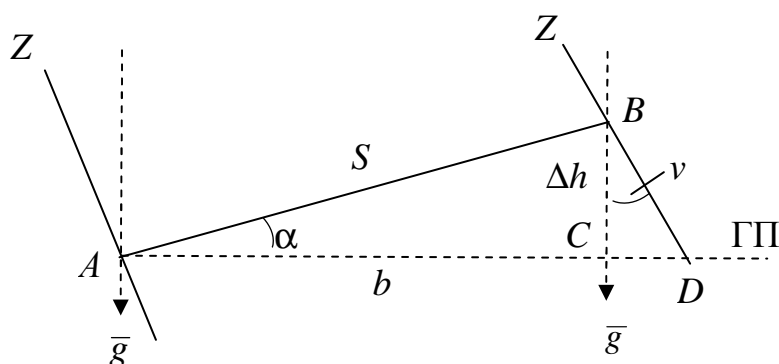


Рис.1.10. К определению поправки в измеряемое расстояние

На рис. 1.10:  $S$  – измеренное расстояние между точками  $A$  и  $B$ ;  $BC = \Delta h$  – превышение  $B$  над  $A$  относительно горизонтальной плоскости;  $\bar{g}$  – вектор силы тяжести;  $v$  – уклонение отвесной линии,  $\alpha$  – угол наклона линии  $AB$  относительно горизонта (ГП).

Поправка за угол наклона  $\alpha$  дает величину горизонтального проложения  $AC = b$ . Однако, на практике редуцирование расстояний ведут не по отвесным линиям, а по координатным (на рис. 1.10 –  $AZ$  и  $BZ$ ). Из-за этого возникает дополнительная поправка  $\delta b$ , равная СД:

$$\delta b = \Delta h \cdot \operatorname{tg} v. \quad (1.51)$$

Разложив по малости  $v$  функцию тангенса в ряд и ограничившись первым членом разложения, получим:

$$\delta b = \Delta h \cdot v.$$

Если измеряемая линия состоит из нескольких пролетов, и длина ее невелика, то величину  $v$  можно считать постоянной. Тогда:

$$\delta b = v \cdot \sum \Delta h_i, \quad (1.52)$$

где  $\Delta h_i$  – превышение по  $i$ -му пролету линии.

#### 1.5.4. Влияние уклонения отвеса на результаты тригонометрического и геометрического нивелирования

Влияние уклонения отвеса на результаты нивелирования проиллюстрировано на рис. 1.11.

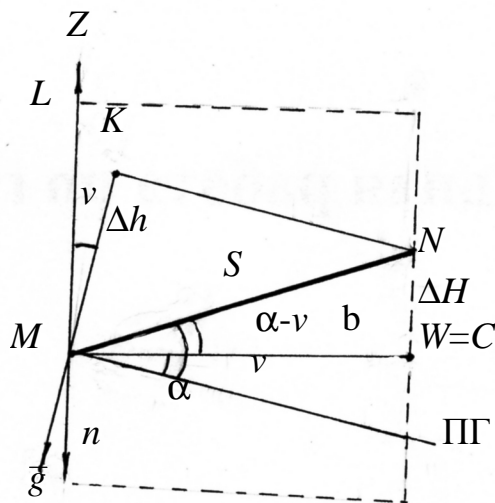


Рис. 1.11. К определению влиянию уклонению отвеса на результаты нивелирования

На рис. 1.11:  $S$  – измеренное расстояние между точками  $M$  и  $N$ ;  $\bar{g}$  – вектор силы тяжести (отвесная линия);  $MZ$  – направление нормали к

эквидиагональной поверхности,  $W = C$ ;  $\Delta H$  – разность геодезических высот в точках  $M$  и  $N$  – превышение над уровенной поверхностью  $W = C$ , полученное из тригонометрического нивелирования,  $\Delta h$  – превышение между точками  $M$  и  $N$ , полученное из геометрического нивелирования;  $b$  – проекция  $S$  на плоскость горизонта (ПГ);  $\alpha$  – угол наклона линии  $MN$ ;  $v$  – уклонение отвесной линии;  $LMN$  – полуплоскость, проходящая через аппликату  $Z$  пункта  $M$  в пункт  $N$ .

По рис. 1.11 видно, что

$$\Delta H = S \cdot \sin (\alpha - \nu) = b \cdot \operatorname{tg}(\alpha - \nu)$$

или

$$\Delta H = S \cdot \sin \alpha \cdot \cos \nu - S \cdot \cos \alpha \cdot \sin \nu. \quad (1.53)$$

По малости  $v$  (около секунды) примем  $\cos v = 1$ ,  $\sin v = v$ .

Тогда:

$$\Delta H = S \cdot \sin \alpha \cdot \cos \nu - \nu \cdot S \cdot \cos \alpha.$$

Второе слагаемое представляет собой поправку в измеренное превышение  $\Delta H$  за уклонение отвеса.

Так как  $S \cdot \cos \alpha = b$  и  $S \cdot \sin \alpha = \Delta h$ , получим

$$\Delta H = \Delta h - v \cdot b. \quad (1.54)$$

Следовательно, при средней разности уклонения отвеса  $0,5''$  и расстоянии 2 км влияние уклонения отвеса на разность высот составляет 5 мм.

### 1.5.5. Редуцирование азимута в шахту

Пусть на поверхности Земли находятся две точки  $M$  и  $N$ , расстояние между которыми  $MN = S$ . Азимут линии  $MN$  равен  $A$ . На глубине  $H$  от поверхности Земли находится шахта, в которую необходимо средуцировать линию  $MN$  (рис. 1.12).

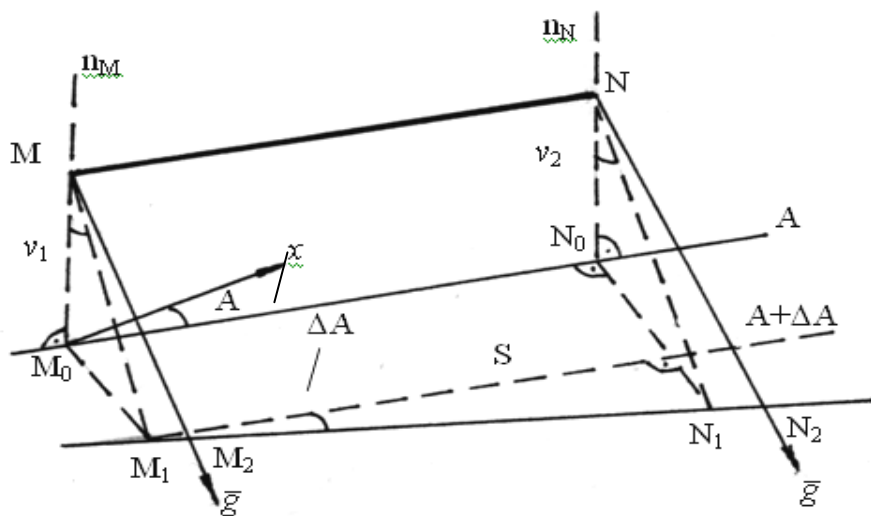


Рис. 1.12. Редуктирование азимута в шахту

Спроецируем точки  $M$  и  $N$  на отсчетную плоскость по нормали – в точки  $M_0$  и  $N_0$ , и по отвесам  $\bar{g}_M$  и  $\bar{g}_N$  – в точки  $M_2$  и  $N_2$  (соответственно). Линия  $M_2N_2$  получит приращение азимута  $\Delta A$ , которое необходимо определить.

Проведем через нормали  $n_M$  и  $n_N$  плоскости, перпендикулярные направлению  $S$  ( $M_0N_0$ ). Они пересекут линию  $M_2N_2$  в точках  $M_1$  и  $N_1$  соответственно.

Расстояния  $M_0M_1$  и  $N_0N_1$  определим через составляющие уклонения отвеса  $v_1$  и  $v_2$  в азимуте  $A + 90^\circ$ :

$$\begin{aligned} M_0M_1 &= (v_{A+90^\circ})_{M_1} \cdot H; \\ N_0N_1 &= (v_{A+90^\circ})_{N_1} \cdot H, \end{aligned} \quad (1.55)$$

где

$$v_1 = -\xi_1 \sin A + \eta_1 \cos A \quad \left. \right\};$$

$$v_2 = -\xi_2 \sin A + \eta_2 \cos A \quad \left. \right\};$$

$$\operatorname{tg} \Delta A = \frac{N_0N_1 - M_0M_1}{M_1N_1} = \frac{(v_2 - v_1) \cdot H}{S_0}. \quad (1.56)$$

По малости  $v$ , разложив тангенс в ряд и ограничившись первым членом разложения, получим:

$$\Delta A = -(\Delta \xi^{\text{arg}} \cdot \sin A - \Delta \eta^{\text{arg}} \cdot \cos A) \cdot \frac{H}{S_0}. \quad (1.57)$$

Если при редуцировании используются оптические центриры, то  $\Delta \xi$  и  $\Delta \eta$  определяются в точках  $M$  и  $N$  на поверхности Земли, а если использованы отвесы, то в точках  $M_2$  и  $N_2$  шахты.